

# 1 Symetria cechownia

Wszystkie znane nam kwantowe teorie oddziaływań fundamentalnych (elektromagnetycznych, słabych i silnych) są oparte ma lokalnej symetrii cechowania. W tym rozdziale pokrótce omówimy główne zasady takich teorii.

W mechanice kwantowej funkcja falowa jest dana z dokładnością co do fazy. Funkcja  $\psi'$

$$\psi(\vec{r}, t) \rightarrow \psi'(\vec{r}, t) = e^{i\alpha} \psi(\vec{r}, t) \quad (1)$$

opisuje ten sam stan kwantowy co funkcja  $\psi$ . Wiąże się to z tym, że faza kasuje się w wyrażeniu na gęstość prawdopodobieństwa. W rzeczywistości nie tylko gęstość prawdopodobieństwa, ale także elementy macierzowe operatorów, w szczególności operatora energii, czy hamiltonianu

$$\langle \psi' | \mathcal{O} | \psi' \rangle = \langle \psi | e^{-i\alpha} \mathcal{O} e^{i\alpha} | \psi \rangle = \langle \psi | \mathcal{O} | \psi \rangle \quad (2)$$

nie zmieniają się przy takiej transformacji.

Sytuacja zmienia się, jeżeli chcielibśmy rozważyć fazę, która nie jest stała, ale jest funkcją zależną od czasu i położenia

$$\alpha \rightarrow \alpha(\vec{r}, t) = \alpha(x) \quad (3)$$

gdzie  $x$  jest czterowektorem  $x = (t, \vec{r})$ , gdyż operatory energii  $E = i\hbar \partial/\partial t$ , czy pędu  $p_i = -i\hbar \partial/\partial x_i$  różniczkują nie tylko funkcję falową, ale i fazę. Czyli

$$\partial_\mu \psi'(x) = \partial_\mu (e^{i\alpha(x)} \psi(x)) = e^{i\alpha(x)} [i(\partial_\mu \alpha(x)) \psi(x) + \partial_\mu \psi(x)] \neq e^{i\alpha(x)} \partial_\mu \psi(x). \quad (4)$$

Aby utrzymać niezmienniczość (2) dokonuje się zmiany definicji operatora pochodnej dodając do niego pewną funkcję wektorową:

$$D_\mu = \partial_\mu + igA_\mu(x). \quad (5)$$

Wówczas

$$D'_\mu \psi'(x) = e^{i\alpha(x)} [\partial_\mu + igA'_\mu(x) + i(\partial_\mu \alpha(x))] \psi(x) = e^{i\alpha(x)} D_\mu \psi(x). \quad (6)$$

Ostatnia równość zachodzi wtedy, gdy

$$gA'_\mu(x) = gA_\mu(x) - \partial_\mu \alpha(x). \quad (7)$$

Funkcja  $A_\mu$  jest czteropotencjałem opisującym pole elektromagnetyczne. Stała  $g$  jest ładunkiem skojarzonym z cząstką opisywaną funkcją falową  $\psi$ . Pojawienie się oddziaływania z polem elektromagnetycznym jest konsekwencją żądania niezmienniczości teorii ze względu na symetrię cechowania (gauge symmetry), która polega na równoczesnym przekształceniu funkcji falowej i czteropotencjału:

$$\begin{aligned} \psi(x) &\rightarrow \psi'(x) = e^{i\alpha(x)} \psi(x), \\ A'_\mu(x) &= A_\mu(x) - \frac{1}{g} \partial_\mu \alpha(x). \end{aligned} \quad (8)$$

Ponieważ faza jest elementem grupy  $U(1)$ , mówimy tu o symetrii  $U(1)$ .

Wprowadzenie oddziaływanie z polem elektromagnetycznym wymaga oczywiście również wprowadzenia tensora  $F_{\mu\nu}$ , z którego można wyprowadzić równania Maxwella. W elektrodynamice (teorii abelowej)

$$F_{\mu\nu} = \partial_\mu A_\nu - \partial_\nu A_\mu \quad (9)$$

(gdzie opuściliśmy zależność potencjałów od  $x$ ). Jak widać tensor pola jest niezmienniczy względem (8). Równania Maxwella w próżni przyjmują postać

$$\partial^\mu F_{\mu\nu} = 0. \quad (10)$$

Najprościej rozwiązać je ustalając cechowanie

$$\partial^\mu A_\mu = 0 \quad (11)$$

(cechowanie Lorentza), gdyż wtedy redukują się one do równań na falę elektromagnetyczną

$$\partial^\mu \partial_\mu A_\nu = 0, \quad (12)$$

które rozwiązujemy poprzez transformatę Fourier'a:

$$A_\nu(x) = a \int d^4p \varepsilon_\nu(p) e^{-ip^\mu x_\mu}. \quad (13)$$

Równanie (12) sprowadza się do

$$\partial^\mu \partial_\mu A_\nu = -a \int d^4p \varepsilon_\nu(p) e^{-ip^\mu x_\mu} p^2 = 0 \quad \rightarrow \quad p^2 = 0. \quad (14)$$

co oznacza, że foton jest bezmasowy. Łatwo przekonać się, że aby uzyskać relację dyspersji dla cząstki masowej  $p^2 = m^2$ , równanie (10) powinno mieć postać

$$\partial^\mu F_{\mu\nu} + m^2 A_\nu = 0. \quad (15)$$

Jednak człon z masą nie jest niezmienniczy ze względu na transformację (8). Niezmienniczość względem symetrii cechowania wymusza, że foton jest bezmasowy.

W roku 1954 Yang i Mills uogólnili symetrię cechowania  $U(1)$  na przypadek grupy  $SU(2)$ , a w zasadzie na przypadek dowolnej grupy  $SU(N)$ , gdzie funkcja falowa jest  $N$ -komponentowym wektorem należącym do reprezentacji fundamentalnej grupy  $SU(N)$ :

$$\psi(x) \rightarrow \psi_\alpha(x). \quad (16)$$

Aby elementy typu (2) były niezmiennicze przy transformacji (opuszczamy indeksy)

$$\psi(x) \rightarrow \psi'(x) = U(x)\psi(x), \quad (17)$$

gdzie  $U$  jest unitarną macierzą  $N \times N$  o wyznaczniku 1 (czyli elementem grupy  $SU(N)$  w reprezentacji fundamentalnej), pochodna kowariantna

$$D_\mu = \partial_\mu + ig\mathbf{A}_\mu(x) \quad (18)$$

gdzie pole  $\mathbf{A}_\mu(x)$  jest macierzą, musi transformować się w następujący sposób

$$\begin{aligned} D'_\mu &= U(x)D_\mu U^\dagger(x) \\ &= U(x)(\partial_\mu + ig\mathbf{A}_\mu(x))U^\dagger(x) \\ &= \partial_\mu + igU(x)\mathbf{A}_\mu(x)U^\dagger(x) + U(x)\partial_\mu U^\dagger(x). \end{aligned} \quad (19)$$

Zauważmy, że

$$0 = \partial_\mu(U(x)U^\dagger(x)) = [\partial_\mu U(x)]U^\dagger(x) + U(x)\partial_\mu U^\dagger(x), \quad (20)$$

co oznacza, że

$$U(x)\partial_\mu U^\dagger(x) = -[\partial_\mu U(x)]U^\dagger(x). \quad (21)$$

Zatem

$$\partial_\mu + ig\mathbf{A}'_\mu(x) = \partial_\mu + igU(x)\mathbf{A}_\mu(x)U^\dagger(x) - [\partial_\mu U(x)]U^\dagger(x), \quad (22)$$

co oznacza, że

$$\mathbf{A}'_\mu(x) = U(x)\mathbf{A}_\mu(x)U^\dagger(x) + \frac{i}{g}[\partial_\mu U(x)]U^\dagger(x). \quad (23)$$

Ponieważ pole  $\mathbf{A}_\mu$  jest macierzą  $N \times N$ , można go rozłożyć w bazie generatorów grupy  $SU(N)$ :

$$\mathbf{A}_\mu(x) = \sum_{n=1}^{N^2-1} T_n A_\mu^n(x), \quad (24)$$

gdzie

$$T_n = \frac{1}{2}\tau_n \quad \text{lub} \quad T_n = \frac{1}{2}\lambda_n$$

odpowiednio dla grupy  $SU(2)$  lub  $SU(3)$ . Widzimy zatem, że w wyniku żądania niezmienniczości cechowania względem nieabelowej grupy  $SU(N)$  pojawia się  $N^2 - 1$  pól wektorowych.

W przypadku nieabelowym musimy tensor pola zdefiniować poprzez pochodne kowariantne

$$\mathbf{F}_{\mu\nu} = D_\mu \mathbf{A}_\nu - D_\nu \mathbf{A}_\mu. \quad (25)$$

Można pokazać, że

$$\mathbf{F}'_{\mu\nu} = U\mathbf{F}_{\mu\nu}U^\dagger \quad (26)$$

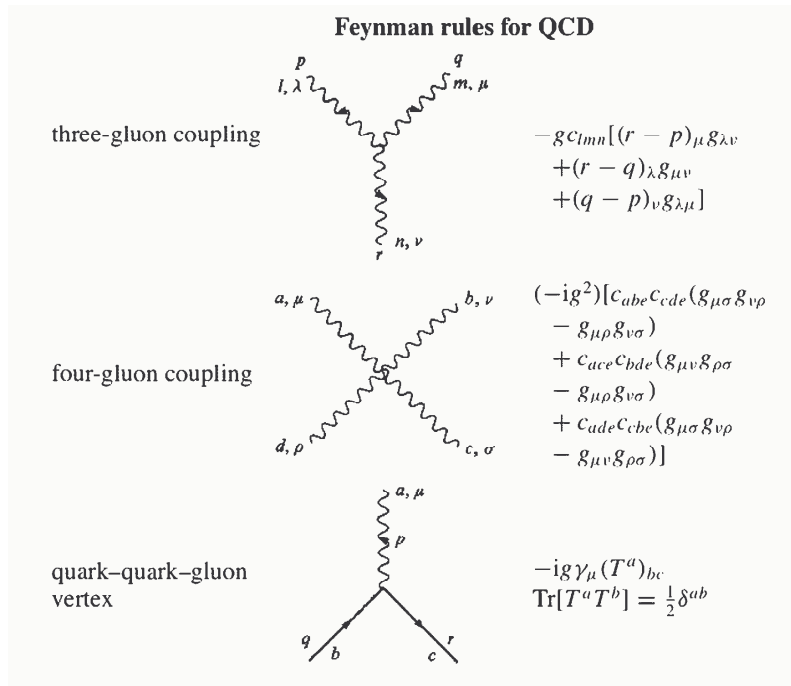
czyli, że tensor pola transformuje się tak, że gwarantuje niezmienniczość elementów macierzowych typu (2).

Zmiana definicji tensora pola powoduje zmiany w odpowiednich równaniach Maxwella nazywanych równaniami Yanga-Millsa. Zauważmy, że tensor pola nieabelowego

$$\begin{aligned}\mathbf{F}_{\mu\nu} &= (\partial_\mu + ig\mathbf{A}_\mu)\mathbf{A}_\nu - (\partial_\nu + ig\mathbf{A}_\nu)\mathbf{A}_\mu \\ &= \partial_\mu\mathbf{A}_\nu - \partial_\nu\mathbf{A}_\mu + ig[\mathbf{A}_\mu, \mathbf{A}_\nu]\end{aligned}\tag{27}$$

zawiera komutator pól  $\mathbf{A}_\mu$ , co powoduje, że równania Yanga-Millsa są nieliniowe. Ponadto, ponieważ hamiltonian dla pól cechowania jest proporcjonalny do kwadratu  $\mathbf{F}^{\mu\nu}\mathbf{F}_{\mu\nu}$ , pojawiają się w nim człony będące iloczynem trzech i czterech pól  $\mathbf{A}_\mu$ . Oznacza to, że w przypadku nieabelowym pola cechowania samoddziałują (fotony nie oddziałują ze sobą bezpośrednio). Tłumaczy się to, w języku diagramów Feynmana, na sprzężeniu trzech i czterech linii odpowiadających polom cechowania. Na koniec podkreślmy, że argument, że niezmienniczość względem symetrii cechowania implikuje bezmasowość pól wektorowych, obowiązuje też w przypadku teorii nieabelowej.

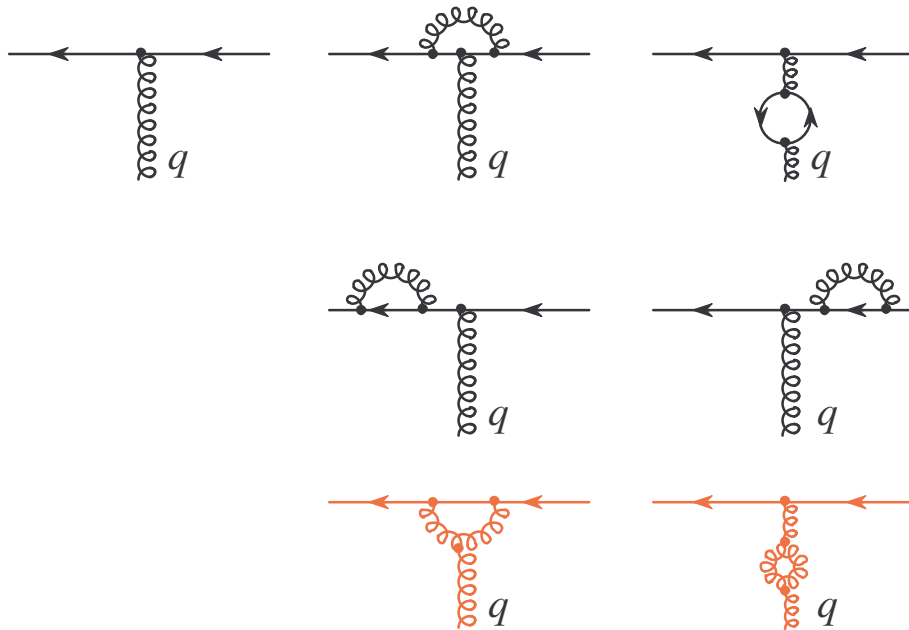
Są dwie podstawowe różnice, jeżeli chodzi o obliczanie amplitud rozpraszania między QED a teoriami Yanga-Millsa. Po pierwsze są nowe sprzężenia, o których już wspomnieliśmy. Mają one podstawowe znaczenie, jeżeli chodzi o zachowanie się obu typów teorii w ultrafiolecie (dla wysokich energii). Po drugie, diagramy Feynmana faktoryzują się na część – nazwijmy to – kinematyczną pomnożoną przez czynnik związany z grupą cechowania, dla grupy SU(3) nazywa się go czynnikiem kolorowym. Kilka przykładów obliczania czynników kolorowych podaliśmy przy okazji omawiania grupy SU(3) na początku wykładu.



Rysunek 1: Reguły Feynmana dla teorii Yanga-Millsa. Stałe  $c_{abc}$  są stałymi struktury grupy, które oznaczliśmy jako  $f_{abc}$ .

## 2 Renormalizacja

Jedną z podstawowych trudności w teorii pola jest pojawianie się rozbieżności w tzw. diagramach pętlowych. Przykład diagramów pętlowych modyfikujących podstawowy wierzchołek teorii: fermion-bozon wektorowy, pokazany jest na rysunku 2. Kolorem czarnym narysowane są diagramy wspólne dla QED i teorii nieabelowej, kolorem czerwonym dodatkowe diagramy, które istnieją tylko w teorii nieabelowej. We wszystkich tych diagramach pojawiają się pętle. Nawet dla ustalonych pędów zewnętrznych (diagramy pokazane na rysunku 2 mogą być częścią większego diagramu i wtedy może występować całka po pędach zewnętrznych) pędy wewnątrz pętli nie są ustalone przez zasady zachowania i trzeba wykonać całkę po „wolnym” czteropędzie  $d^4k$ . Rozbieżności, o których tu mówimy, pochodzą z górnej granicy całkowania i mają charakter logarytmiczny. Poniżej pokażemy schematycznie, jak sobie z takimi rozbieżnościami poradzić, dlatego interesować nas będzie postać całek dla bardzo dużych  $k$ , stąd pojawiająca się w tych całkach rozbieżność z dolnej granicy całkowania jest pozorna, gdyż w tej granicy wyrażenie podcałkowe tak na prawdę nie ma osobliwości. Ponadto przyjmujemy, że  $q^2 \neq 0$ , natomiast kwadraty czteropędów fermionów są równe zero.



Rysunek 2: Poprawki do wierzchołka fermion-bozon wektorowy. Kolorem czarnym narysowane są diagramy wspólne dla QED i teorii nieabelowej, kolorem czerwonym dodatkowe diagramy, które istnieją tylko w teorii nieabelowej.

Najpierw trzeba dokonać regularyzacji.

- Obcięcie czterowymiarowe ( $\Lambda \rightarrow \infty$ )

$$\underbrace{g^2 \int \frac{dk}{k}}_{\text{skończone}} \rightarrow g_\Lambda^2 \int \frac{dk}{k} = g_\Lambda^2 \ln \Lambda + \text{skończone} \quad (28)$$

- Regularyzacja wymiarowa ( $\varepsilon \rightarrow 0$ )

$$\underbrace{g^2 \int \frac{dk}{k}}_{\text{skończone}} \rightarrow g_\varepsilon^2 \int k^{-\varepsilon} \frac{dk}{k} = g_\varepsilon^2 \frac{1}{\varepsilon} k^{-\varepsilon} \Big|_{\text{skończone}}^\infty \rightarrow -g_\varepsilon^2 \frac{1}{\varepsilon} \times \text{skończone} \quad (29)$$

Renormalizacja polega na *wepchnięciu* nieskończoności do

- stałej sprzężenia,
- mas cząstek,
- funkcji falowych.

Jeśli tylko skończona liczba typów rozbieżności się pojawia, która się daje usunąć w ten sposób, to mówimy, że teoria jest *renormalizowalna*.

Nawet jeżeli w teorii nie było stałej wymiarowej (wszystkie masy kładziemy zero, stała sprzężenia jest bezwymiarowa), to renormalizacja wprowadza zależność stałej sprzężenia od pewnej stałej wymiarowej.

Ponieważ w opisywanym problemie mamy tylko jedną zmienną wymiarową  $Q^2 = -q^2$ , zregularyzowana całka (28) może zawierać jedynie logarytm stosunku  $Q^2/\Lambda^2$ :

$$(\text{suma diagramów z Rys. 2}) = g_\Lambda \left( 1 - g_\Lambda^2 \left( a \ln \frac{Q^2}{\Lambda^2} + \dots \right) + \dots \right)$$

Renormalizacja polega na wciągnięciu nieskończoności do  $g_\Lambda$ :

$$g_\Lambda = g - ag^3 \ln \frac{\Lambda^2}{Q_0^2} + \dots$$

Tu  $g$  jest liczbą

$$\begin{aligned} (\text{suma}) &= \left( g - ag^3 \ln \frac{\Lambda^2}{Q_0^2} + \dots \right) \left( 1 - \left( g - ag^3 \ln \frac{\Lambda^2}{Q_0^2} + \dots \right)^2 \left( a \ln \frac{Q^2}{\Lambda^2} + \dots \right) + \dots \right) \\ &= g - ag^3 \ln \frac{\Lambda^2}{Q_0^2} - g^3 a \ln \frac{Q^2}{\Lambda^2} + \dots \\ &= g - ag^3 \ln \frac{Q^2}{Q_0^2} + \dots = g(Q^2). \end{aligned}$$

Lepiej zapisać to dla stałej  $g^2$ :

$$g^2(Q^2) = g^2 - 2ag^4 \ln \frac{Q^2}{Q_0^2} + \dots = \frac{g^2}{1 + 2ag^2 \ln \frac{Q^2}{Q_0^2}}$$

Co to jest  $g^2$ ?

$$g^2 = g^2(Q_0^2)$$

Spróbujemy nieznaną wartość  $g$  w arbitralnym (acz ustalonym) punkcie  $Q_0^2$  zastąpić przez nową stałą wymiarową, którą oznaczymy  $\Lambda_{\text{QCD}}$ . Najpierw przepiszmy

$$\frac{1}{g^2(Q^2)} = \frac{1}{g^2(Q_0^2)} \left( 1 + 2ag^2(Q_0^2) \ln \frac{Q^2}{Q_0^2} \right) = \frac{1}{g^2(Q_0^2)} + 2a \ln \frac{Q^2}{Q_0^2}$$

co daje

$$\frac{1}{g^2(Q^2)} - 2a \ln Q^2 = \frac{1}{g^2(Q_0^2)} - 2a \ln Q_0^2 \stackrel{\text{ozn.}}{=} -2a \ln \Lambda_{\text{QCD}}^2$$

co daje

$$\frac{1}{g^2(Q^2)} = 2a \ln \frac{Q^2}{\Lambda_{\text{QCD}}^2} \rightarrow g^2(Q^2) = \frac{1}{2a \ln \frac{Q^2}{\Lambda_{\text{QCD}}^2}}$$

Jest to wzór asymptotyczny. Jego sensowność zależy od znaku  $a$ . Jeżeli  $a$  jest ujemne to wzór

$$g^2(Q^2) = \frac{g^2}{1 + 2ag^2 \ln \frac{Q^2}{Q_0^2}}$$

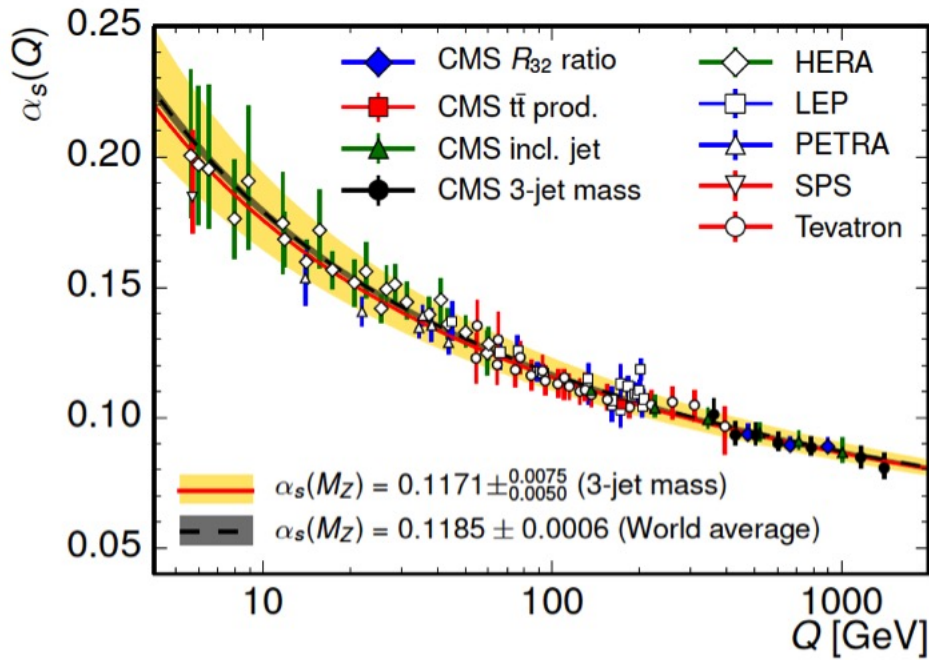


ma osobliwość (biegun Landaua w elektrodynamice), jeżeli  $a$  jest dodatnie,  $g^2(Q^2)$  znika dla dużych  $Q^2$  (asymptotyczna swoboda). Używając (standardowa notacja):

$$\alpha(Q^2) = \frac{4\pi}{\beta_0 \ln \frac{Q^2}{\Lambda_{\text{QCD}}^2}}, \quad \beta_0 = \frac{11}{3}C_A - \frac{2}{3}n_f$$

gdzie

$n_f \rightarrow$  liczba kwarków w diagramie pętlowym  
 $C_A \rightarrow$  operator Casimira dla grupy  $SU(N_c)$



Rysunek 3: Biegnąca stała sprzężenia (CMS-SMP-12-027).

### 3 Oddziaływania silne, chromodynamika kwantowa (QCD)

Okazuje się, że oddziaływania silne oparte są na teorii Yanga-Millsa dla grupy  $SU(3)$ . Podamy teraz argumenty doświadczalne za wyborem tej właśnie grupy. Niezmienniki grupy  $SU(3)$ :

$$\delta_{ab}, \quad \varepsilon_{abc}$$

albowiem:

$$U^\dagger U = 1 \rightarrow U_{ab}^\dagger \delta_{bc} U_{cd} = \delta_{ad}$$

oraz

$$\varepsilon_{abc}U_{aa'}U_{bb'}U_{cc'} = \varepsilon_{a'b'c'} \det U = \varepsilon_{a'b'c'}$$

Jest to analogon związku dla SU(2)

$$U^T \varepsilon U = \varepsilon \rightarrow U_{a'a}^T \varepsilon_{ab} U_{bb'} = \varepsilon_{ab} U_{aa'} U_{bb'} = \varepsilon_{a'b'}$$

Zatem singlety kolorowe to stany

$$M_{12} = q_1^\dagger q_2 = \begin{bmatrix} q_{r,1}^* & q_{g,1}^* & q_{b,1}^* \end{bmatrix} \begin{bmatrix} q_{r,2} \\ q_{g,2} \\ q_{b,2} \end{bmatrix} \quad \text{mezony}$$

$$B_{123} = \frac{1}{\sqrt{6}} \varepsilon_{abc} q_{a,1} q_{b,2} q_{c,3} \quad \text{bariony}$$

Gdyby grupą cechowania oddziaływań silnych była grupa SU( $N$ ), bariony składałyby się z  $N$  kwarków.

Naiwny model kwarków: kwarki w uśrednionym potencjale siedzą na poziomie podstawowym (jak elektrony w atomie wodoru) – czyli w fali s. Jak zatem możliwe jest istnienie rezonansu  $\Delta$  który składa się z trzech kwarków u, każdy ze spinem  $+1/2$ ? Funkcja falowa

$$\Delta = u^\uparrow(x)u^\uparrow(y)u^\uparrow(z)$$

przestrzenna  $\rightarrow$  symetryczna

spinowa  $\rightarrow$  symetryczna

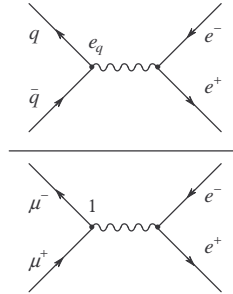
kolorowa  $\rightarrow$  antysymetryczna

Dodanie nowej liczby kwantowej związanej z grupą SU(3), tzw. *koloru* „ratuje” zakaz Pauliego.

Inny argument za  $N = 3$  pochodzi ze zbadania stosunku:

$$R = \frac{\sigma_{e^+e^- \rightarrow \text{hadrons}}}{\sigma_{e^+e^- \rightarrow \mu^+\mu^-}}$$

który poza rezonansami przyjmuje wartość stałą.



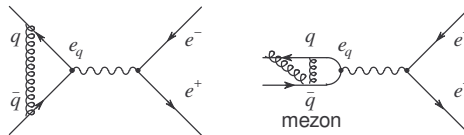
Rysunek 4: Stosunek amplitud na produkcję hadronów do muonów w zderzeniach  $e^+e^-$ . Czas płynie w lewo.

Dla energii poniżej progu na charm ( $E < 3$  GeV) i.t.d.:

$$R = e_d^2 + e_u^2 + e_s^2 = \left(-\frac{1}{3}\right)^2 + \left(\frac{2}{3}\right)^2 + \left(-\frac{1}{3}\right)^2 = \frac{2}{3}$$

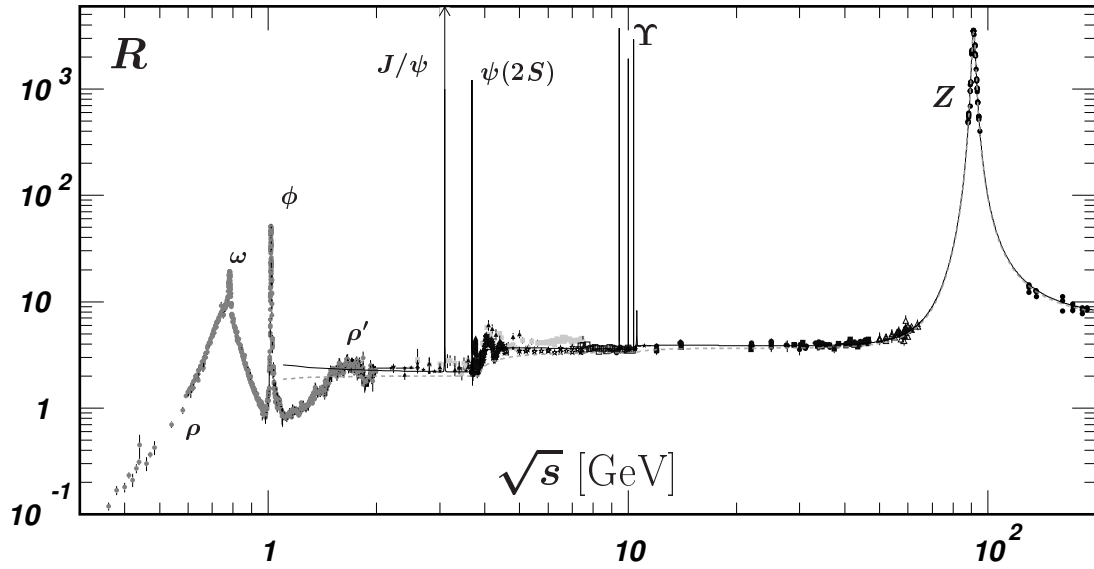
$$R = e_d^2 + e_u^2 + e_s^2 + e_c^2 = \left(-\frac{1}{3}\right)^2 + \left(\frac{2}{3}\right)^2 + \left(-\frac{1}{3}\right)^2 + \left(\frac{2}{3}\right)^2 = \frac{10}{9}$$

$$R = e_d^2 + e_u^2 + e_s^2 + e_c^2 + e_b^2 = \left(-\frac{1}{3}\right)^2 + \left(\frac{2}{3}\right)^2 + \left(-\frac{1}{3}\right)^2 + \left(\frac{2}{3}\right)^2 + \left(-\frac{1}{3}\right)^2 = \frac{11}{9}$$



Rysunek 5: Poprawki perturbacyjne i nieperturbacyjne do produkcji hadronów. Czas płynie w lewo.

Poprawki perturbacyjne – małe, nieperturbacyjne – duże, ale wąskie.

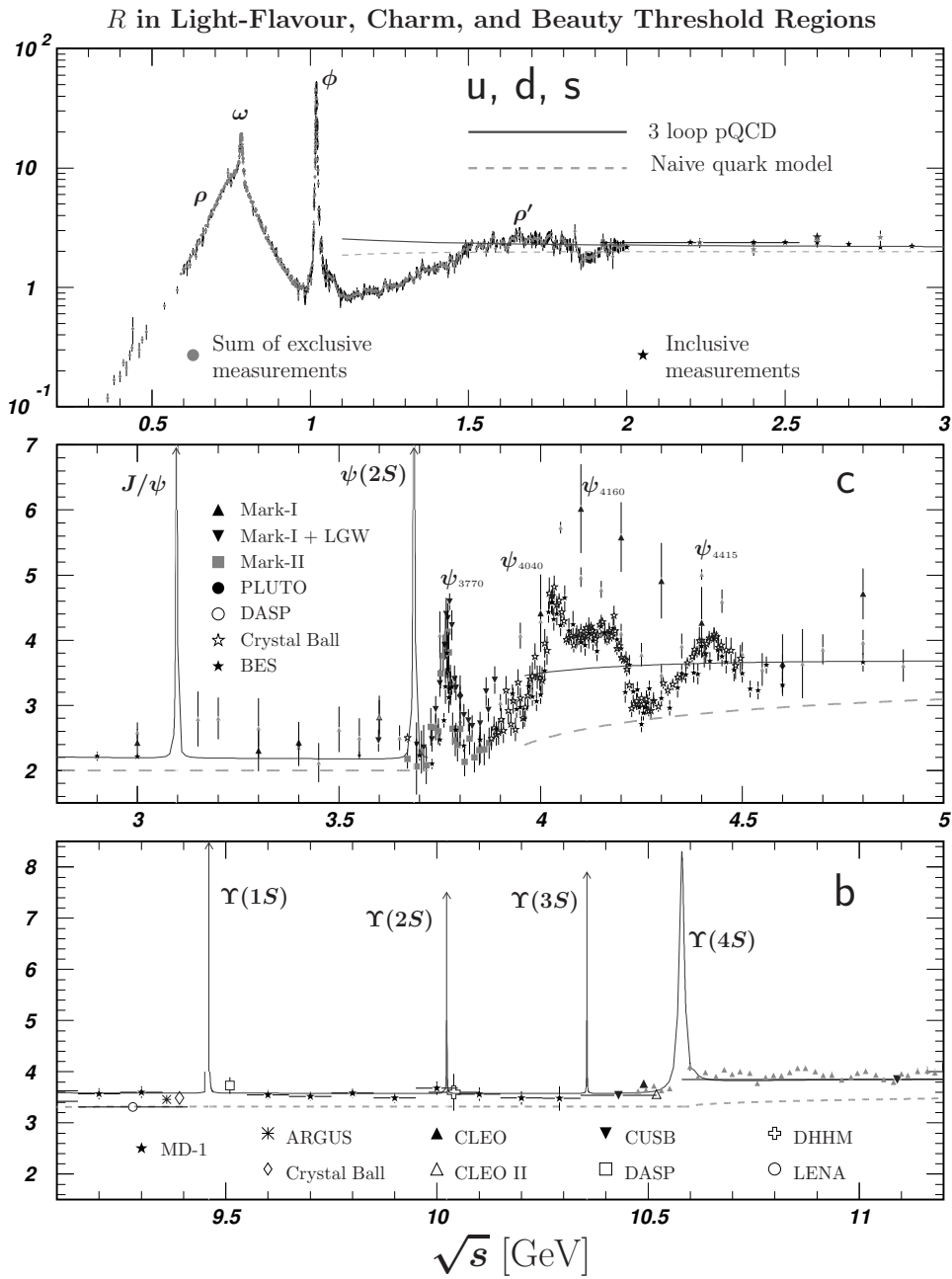


Rysunek 6: Wykres stosunku  $R$  w funkcji energii. Linia przerywana – przewidywania modelu kwarków bez uwzględnienia koloru. Linia ciągła – przewidywanie QCD.

$$R = e_d^2 + e_u^2 + e_s^2 = \frac{2}{3} + e_c^2 = \frac{10}{9} + e_b^2 = \frac{11}{9}$$

$$R = 3(e_d^2 + e_u^2 + e_s^2) = 2 + 3e_c^2 = \frac{10}{3} + 3e_b^2 = \frac{11}{3}$$

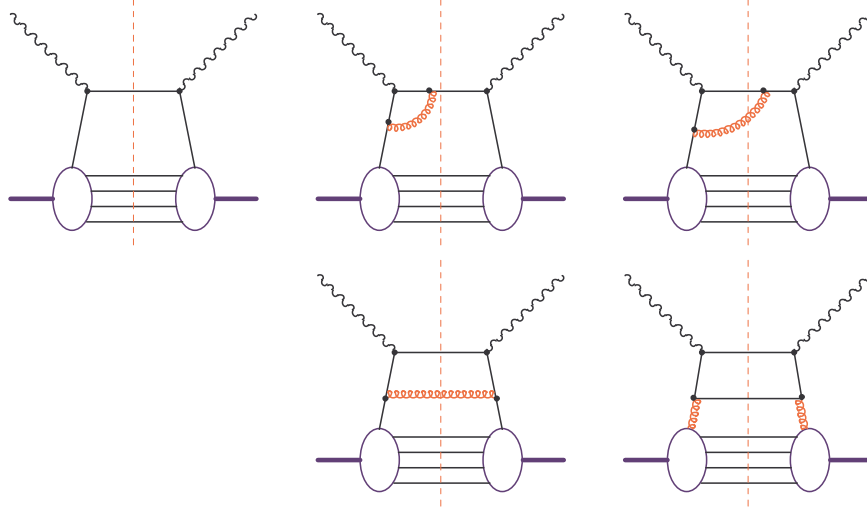
Uwzględnienie koloru  $N_c = 3$  daje zgodność z doświadczeniem.



Rysunek 7: Rysunek 6 w powiększeniu.

## 4 Ewolucja rozkładów partonowych

Poprawki radiacyjne:



Rysunek 8: Kwadrat amplitudy DIS w przybliżeniu Borna i z poprawkami radiacyjnymi zaznaczonymi na czerwono.

Ostatecznie mamy zespół równań (Dokshitzera–Gribova–Lipatova) Altarelliego-Parisiego, który sumuje emisje kolinearne:

$$Q^2 \frac{d}{dQ^2} q_i(x, Q^2) = \frac{\alpha_s(Q^2)}{2\pi} [P_{qq} \otimes q_i(Q^2) + P_{qG} \otimes G(Q^2)]$$

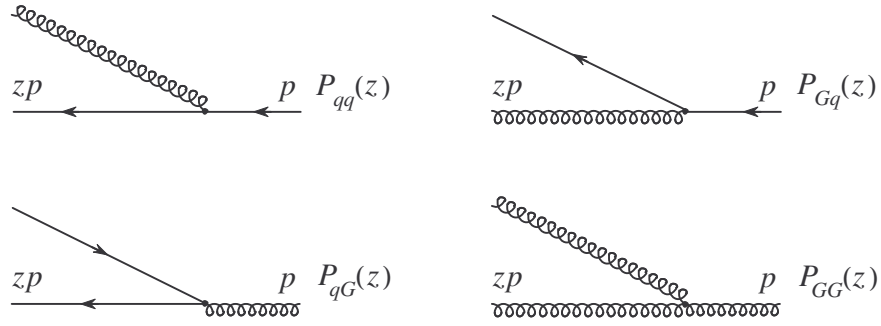
$$Q^2 \frac{d}{dQ^2} G(x, Q^2) = \frac{\alpha_s(Q^2)}{2\pi} \left[ P_{Gq} \otimes \sum_i q_i(Q^2) + P_{GG} \otimes G(Q^2) \right]$$

(argument  $\alpha_s(Q^2)$  jest  $Q^2$ ). Tu  $i$  numeruje różne flavory: up, down, strange i antykwarki.

W równaniu użyliśmy konwolucję:

$$\begin{aligned} P_{qq} \otimes q &= \int_0^1 dz \int_0^1 dy \delta(z y - x) P_{qq}(z) q(y) \\ &= \int_x^1 \frac{dy}{y} P_{qq}\left(\frac{x}{y}\right) q(y) = \int_x^1 \frac{dz}{z} P_{qq}(z) q\left(\frac{x}{z}\right) \end{aligned}$$

Prawdopodobieństwa Altarelli-Parisi



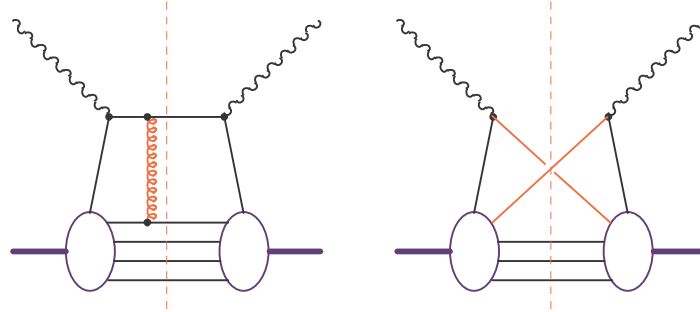
Rysunek 9: Graficzna reprezentacja prawdopodobieństw Altarelliego-Parisiego. Czas płynie w lewo.

Podsumowując

$$P_{qq}(z) = C_F \left( \frac{1+z^2}{1-z} \right)_+, \quad P_{Gq}(z) = C_F \frac{1+(1-z)^2}{z}, \quad P_{qG}(z) = \frac{1}{2} [z^2 + (1-z)^2]$$

$$P_{GG}(z) = 2C_A \left[ \frac{z}{(1-z)_+} + \frac{1-z}{z} + z(1-z) \right] + \frac{1}{2} \left( \frac{11}{3}C_A - \frac{2}{3}n_f \right) \delta(1-z)$$

Poprawki których nie bierzemy pod uwagę pokazano na rysunku 10.

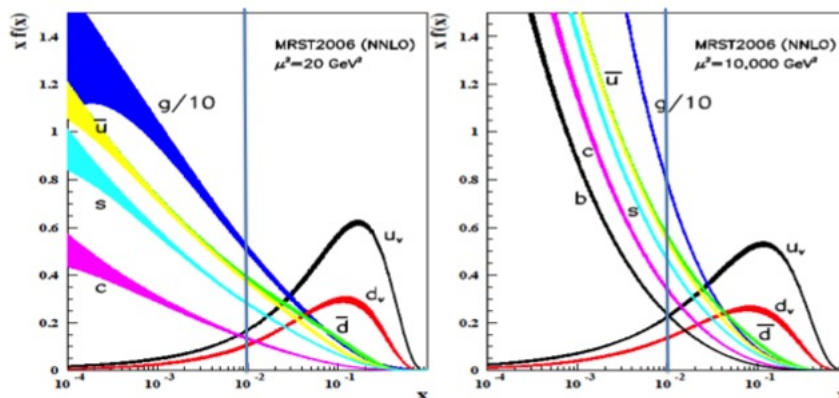


Rysunek 10: Poprawki nie uwzględnione w równaniach DGLAP.



# DGLAP Evolution

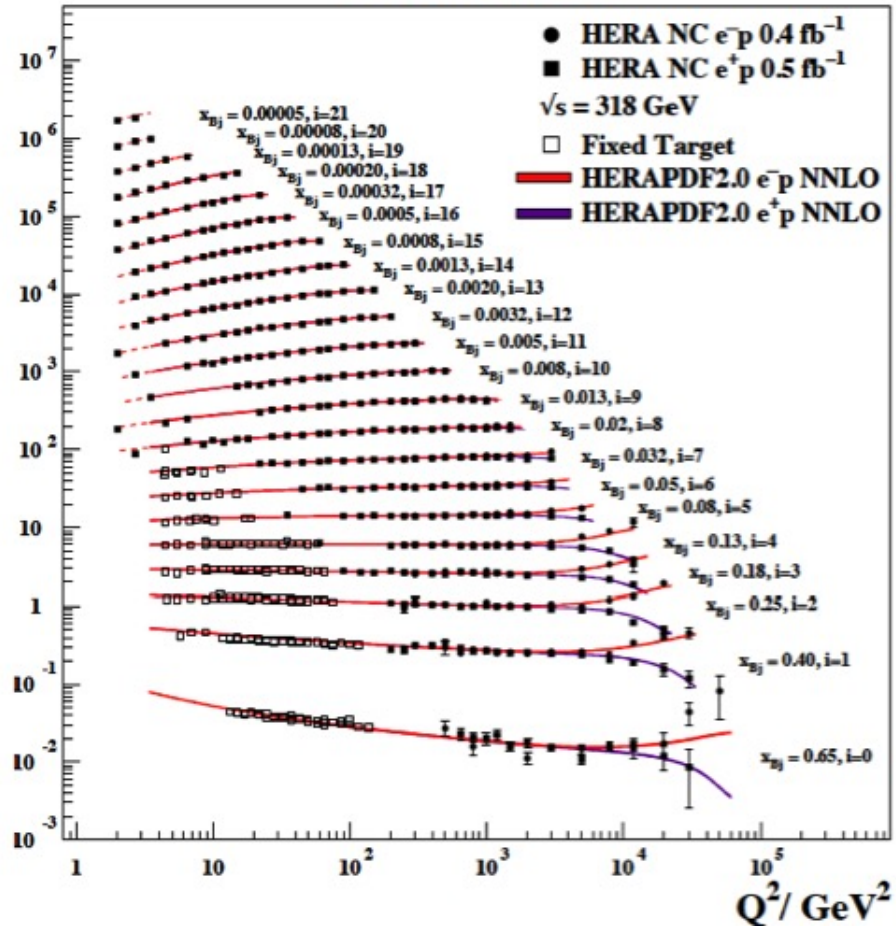
$Q^2 = 20 \text{ GeV}^2$   $\xrightarrow{\text{DGLAP}}$   $Q^2 = 10\,000 \text{ GeV}^2$



Rysunek 11: Rozkłady partonów i ewolucja DGLAP.



# H1 and ZEUS

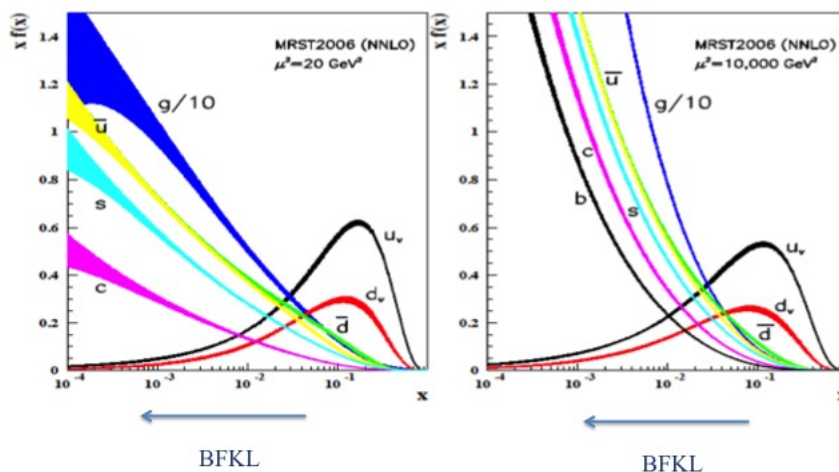


Rysunek 12: Dane z akceleratora HERA



# DGLAP & BFKL Evolution

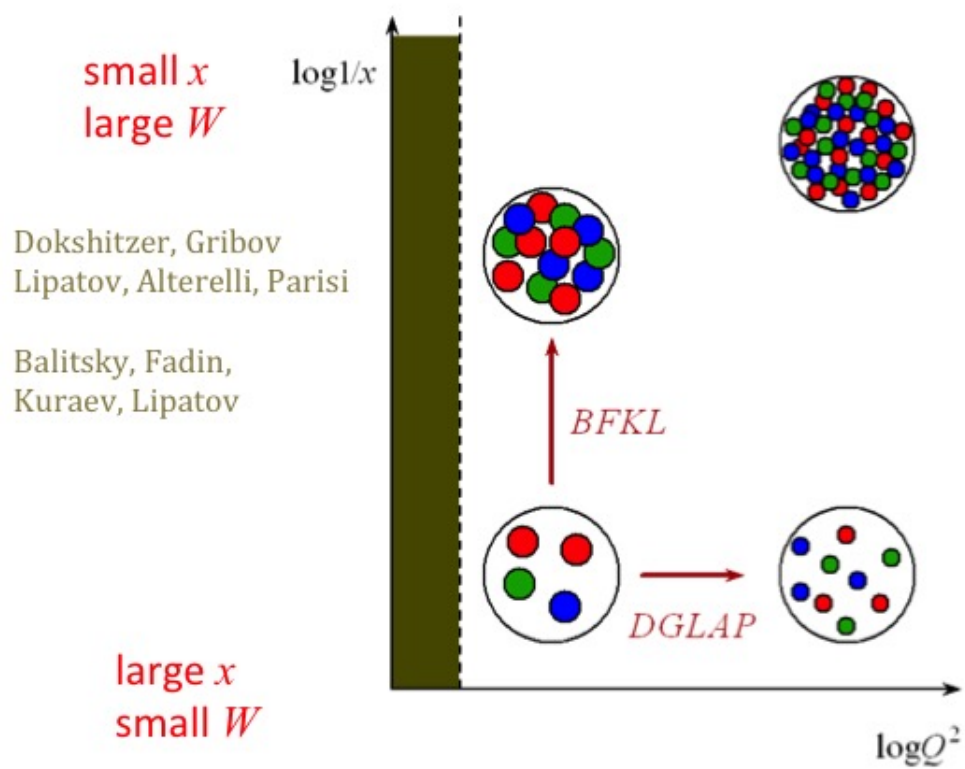
$Q^2 = 20 \text{ GeV}^2 \xrightarrow{\text{DGLAP}} Q^2 = 10\,000 \text{ GeV}^2$



Rysunek 13: Rozkłady partonów i ewolucja DGLAP oraz BFKL.



# DGLAP vs. BFKL evolution



Rysunek 14: Przestrzeń fazowa ewolucji DGLAP i BFKL.